

## Genistein이 Benzo(k)fluoranthene에 의한 CYP1B1 유전자조절 작용에 미치는 영향

서미정 · 신윤용\*  
이화여자대학교 약학대학

### Effect of Genistein on the Benzo(k)fluoranthene Regulated CYP1B1 Gene Expression

Mi-Jung Seo and Yhun-Yhong Sheen\*

College of Pharmacy, Ewha Womans Univ, Seoul, Korea  
#11-1, Daehyun-dong, sudaemunku, seoul 120-750, Korea

(Received December 2, 2004 / Accepted December 21, 2004)

**ABSTRACT :** CYP1B1 enzyme metabolize PAHs and estradiol. CYP1B1 metabolize estradiol to 4-hydroxyestradiol that is considered as carcinogenic metabolite. Luciferase activity was induced about 20 folds over that control by 1 nM TCDD (2,3,7,8-tetrachloro-p-dioxin) and these inductions were dose-dependent. Recent industrialized society, human has been widely been exposed to widespread environmental contaminants such as PAHs (polycyclic aromatic hydrocarbon) that are originated from the incomplete combustion of hydrocarbons. PAHs are known to be ligands of the Ahr (aryl hydrocarbon receptor). Induction of cytochrome P4501B1 (CYP1B1) in cell culture is widely used as a biomarker for PAHs. Therefore we have studied the effect of PAHs in the human breast cancer cells MCF-7 to evaluate bioactivity of PAHs. Cytochrome P4501B1 (CYP1B1) is known to be inducible by xenobiotic compounds such as polycyclic aromatic hydrocarbon (PAH) and dioxins such as 2,3,7,8-tetrachloro-dibenz-p-dioxin (TCDD). And these induction of CYP1B1 is also regulated by many categories of chemicals. In order to investigate the effects of several chemicals on *CYP1B1* gene expression in Hepa-1 and MCF-7 cells, 5' flanking DNA of human *CYP1B1* was cloned into pGL3 basic vector containing luciferase gene, and then transfected into these cells. After treatment of chemicals, the luciferase activity was measured. We examined effects of PAHs on the *CYP1B1*-luciferase reporter gene and CYP1B1 mRNA level. Benzo(k)fluoranthene showed strong response to *CYP1B1* promoter activity stimulation, and also CYP1B1 mRNAs increase in MCF-7 cells in a concentration-dependent manner. Flavonoids such as genistein decreased B(k)F induced luciferase activity at low concentration. It exhibited stimulatory effect at high concentration.

**Key words :** TCDD, Genistein, Benzo(k)fluoranthene, CYP1B1

## 서 론

식품에 널리 분포하는 황색계통의 색소인 flavonoid는 비타민 P 또는 비타민 C2 라고 부르기도 하며 고등식물의 잎, 꽃 등에 들어 있다. 넓은 의미의 flavonoid는 anthoxanthin류와 anthocyanin류, catechin류를 포함하지만 좁은 의미에서의 flavonoid는 anthoxanthin류만을 의미한다 (Chan et al., 2003). Phytochemicals 중 가장 주목을 받고 있는 생리활성물질의 하나로서 항산화 작용을 비롯한 항암, 항혈전, 항염증, 항알레르기 및 항균작용 등의 여러 생리적 작용

을 지니고 있다. 특히, 항산화성 활성이 있는 flavonoid는 자외선을 흡수하거나 2가 금속이온 ( $Cu^{2+}$ ,  $Fe^{2+}$ )과 쟁연을 형성하며, 수소공여체로서 활성산소종을 포착하여 지질과산화반응 (lipid peroxidation)을 억제함으로써 암뿐만 아니라 고혈압, 협심증 및 노화 억제에 중요한 역할을 한다 (Jeffry et al., 2002). 천연의 flavonoid 화합물 중 가장 많이 존재하는 것이 flavonol 및 flavone 화합물로써 그 주된 aglycone은 quercetin, kaempferol, luteolin과 apigenin이다. 이들 flavonoid는 사람의 식이 중에 과일, 야채에 다량 함유되어 있다. 오렌지주스는 다량의 hesperidin을 포함하고 있으며, 포도주스에는 naringin, 녹차에는 catechin이 함유되어 있다 (Wang et al., 1989). 외인성 물질의 생체 내 전환은 크게 세 단계로 나눠진다. 1상 대사 (phase I)에서는

\*To whom correspondence should be addressed

외인성 물질에 친수성 관능기를 도입시킨다. I 상 대사의 주요 효소계는 cytochrome P450 (CYP) superfamily이다. 많은 종류의 CYP isoform, 예를 들면 CYP3A4, CYP2B6, CYP1A1/2 는 외인성 물질에 의해 유도되고 핵 수용체인 PXR (pregnane X receptor), CAR (constitutive androstane receptor)와 AhR (aryl hydrocarbon receptor)에 의해 전사 조절을 받는다. 개인간 CYP 효소 활성의 차이는 유전적 다양성, 연령, 성별, 질병 상태, 약물 투여, 흡연이나 음주를 포함한 식이 등 다양한 조절 인자에서 비롯된다 (Frye *et al.*, 2002).

Cytochrome P450 (CYP) 효소계는 산화 과정을 촉매한다. CYP 기질은 대부분의 임상약물과 steroids, fatty acids, eicosanoids, retinoids와 prostaglandins 등의 내인성 물질 등 200,000 개가 넘는다 (Lewis *et al.*, 1998). CYP의 명칭은 아미노산 서열의 유사성에 근거한다 (Rogers J.F. *et al.*, 2002). 사람에 있어서 CYP superfamily은 4종의 효소계인 CYP1, CYP2, CYP3와 CYP4를 포함한다 (Gonzales *et al.*, 1998). 일부 CYP는 외인성 물질에 의해 유도되어 세포내 특정한 수용체와 결합해 유전자의 발현을 조절한다. 이러한 효소는 다양한 조직에서 발현되나, 간에서 가장 많이 발현된다. 세포내에서 CYP는 소포체의 세포질 부분에 위치한다.

CYP1B1은 비교적 최근에 유전자 염기 서열이 밝혀졌고 (Sutter *et al.*, 1994), 간 이외의 신장, 유방, 전립선과 같은 여러 가지 조직들에서 다르게 발현된다 (Sutter *et al.*, 1994; Schimada *et al.*, 1996). Benzo(a)pyrene과 7, 12-dimethylbenz(a)anthracene (DMBA)와 같은 다환상 방향족 탄화수소류 (polycyclic aromatic hydrocarbons; PAHs)를 대사해 활성화시키고, estrogen과 catechol estrogen의 대사에 관여한다고 알려져 있다. 사람의 CYP1B1의 5'-flanking -2.3kb 부분에는 여덟 개의 XRE가 존재한다 (Tang *et al.*, 1996). CYP1B1 유전자의 전사조절 부위 (promotor region)에는 CYP1A1과 CYP1A2의 전사조절 부위와는 구조적으로 다른 몇 가지의 전사유도 부위와 전사억제 부위가 존재한다는 것이 밝혀졌다 (Wo *et al.*, 1997). AhR (aryl hydrocarbon receptor)을 매개로 한 CYP1B1의 발현 기전은 잘 알려져 있으나, AhR을 통하지 않는 다른 전사 조절 경로나 전사 후 (post-transcriptional) 조절 기전이 존재한다고 추측하고 있다. 사람 CYP1B1 유전자의 mRNA는 여러 개의 polyadenylation 부위를 가지고 있는데, 이것이 세포 특이적으로 작용하여, 최종적인 발현 정도를 조절한다 (Shehin *et al.*, 2000).

CYP1 효소들 가운데 CYP1B1이 새로운 약물 개발의 표적으로 각광받고 있는 이유는 다양한 종류의 암 조직에서

CYP1B1이 많은 빈도로 발견되고 정상 조직에서는 발견되지 않기 때문이다 (Murray GI. *et al.* 1997). 또한 17 $\beta$ -estradiol은 CYP1A1과 CYP1B1에 의하여 각각 2-hydroxyestradiol과 4-hydroxyestradiol으로 대사 되는데, CYP1B1의 대사 산물인 4-hydroxyestradiol이 발암과 관련된 것으로 보고되고 있다 (Hayes *et al.*, 1996; Shimada *et al.*, 1999). 2-Hydroxyestradiol을 투여한 경우 암이 발생하지 않는 반면, 4-hydroxyestradiol을 Syrian hamster에 투여하였을 때 신장 암이 발생하였다 (Li *et al.*, 1987; Liehr *et al.*, 1986). CYP1B1의 이러한 발암 작용은 CYP1B1의 특이적인 저해제가 항암제 (antimutagenic agent)로 개발될 수 있다는 것을 보여준다. AhR은 리간드와 결합하기 전에 두개의 hsp 90 chaperones, small protein (p23)과 면역관련 단백질인 XAP, AIP 혹은 ARA9과 복합체를 이뤄 세포질에 존재한다. Hsp 90은 리간드가 결합하기 용이한 구조로 AhR의 전사 활성화를 막는 chaperone 단백질 시스템이다 (Scheme 1). 리간드가 결합하면 chaperone 단백질은 분리되어 나가고 AhR은 핵 내로 이동하여 hypoxia inducible factor-1 $\beta$  (HIF-1 $\beta$ )로 알려진 aryl hydrocarbon receptor nuclear translocator (ARNT)와 180-220 kDa (Matsumura *et al.*, 2003)의 이종중합체 (heterodimer)를 형성한다 (Safe *et al.*, 2001). 이 이종중합체는 DNA의 특정 부위인 dioxin 또는 xenobiotics responsive element (DRE 또는 XRE)에 결합하며, DRE의 핵심 서열은 5'-TNGCGTG-3' 유전자 발현을 활성화 시킨다 (Mimuraa *et al.*, 2003).

TCDD는 female Sprague-Dawley rat에서 간세포의 암화를 유도했으나, male에서는 음성이었고, 이러한 차이는 estrogen 의존적임을 보여준다 (Safe *et al.*, 2001). TCDD를 먹인 쥐에서 estrogen 의존적인 자궁암과 유방암 발현이 감소된 것은 TCDD가 estrogen receptor (ER) 작용을 방해함을 시사한다. 실제로 AhR과 ER의 상호교신이 존재함은 이미 보고된 바 있다. AhR은 설치류의 자궁에서 발현되며, 선행 연구에서 TCDD와 AhR agonists가 17 $\beta$ -estradiol (E2)에 의해 유도된 자궁 무게 증가, 세포증식, progesterone receptor (PR)의 결합을 억제함을 보여주었다 (Safe *et al.*, 2001). E2는 AhR 단백질에 영향을 미치지 않으나, TCDD는 ER $\alpha$ 의 분해를 유도하여 TCDD와 E2를 병용 처치한 세포에서 ER $\alpha$  단백질이 현저하게 감소되었다. 이러한 inhibitory AhR-ER의 상호교신은 유방암 세포에서 estrogen 의존적인 여러 반응에 영향을 미친다. 예를 들면, AhR agonists에 의해 유도된 CYP1A는 E2의 대사를 증가시켜 세포내 농도를 급격히 감소시킨다 (Safe *et al.*, 2001).

Flavonoid는 방향족 아미노산 (phenylalanine, tyrosine)과 malonate로부터 식물에서 형성된다. Flavonoid 구조의 기본

은 flavan nucleus이다. 이것은 15개의 탄소 원소가 세개의 고리구조 ( $C_6-C_3-C_6$ )로 배열되어 있다. 이 고리는 A, B, C로 표시한다 (Scheme 2).

Flavonoid는 일반적으로 식물에서 glycosylate된 형태의 파생물이며, 잎, 꽃, 과실에서 orange, scarlet, blue 색을 띠게 하는데 관여한다. 다양한 과실과 야채 이외에도 flavonoid는 포도주 (특히 적포도주), 차, 맥주와 같은 음료와 씨앗, 땅콩, 곡류, 향신료, 약용 식물에서 발견된다. Flavonoid의 많은 종 가운데 특별히 관심을 가지는 것은 flavones, flavanones, isoflavones, flavonols, flavanonols, flavan-3-ols, anthocyanidins이며, biflavones, chalcones, aurones, coumarins, hydrolyzable tannins, proanthocyanidins (flavan-3-ol oligomers), caffearates, lignans을 포함한 다른 flavonoid는 모두 plant phenol이며, 이들은 구조에 따라 분류된다 (Babich *et al.*, 1988).

본 논문에서는 human CYP1B1의 5' flanking 부분을 pGL3 vector에 clone한 *phCYP1B1-Luc*을 MCF-7 세포에 환경 유해물질인 다환상 방향족 탄화수소류와 환경시료를 처리하여 CYP1B1 유전자 발현에 대한 유도제들의 영향과 genistein이 억제 효과가 있음을 알아보았다.

## 재료 및 방법

### 세포 배양

Hepa-I 세포는 한국 세포주 은행 (KCLB)에서 분양받아 본 실험실에 저장해 두었던 세포를 녹여 배양하여 실험에 사용하였다. MCF-7 세포는 한국 세포주 은행 (KCLB)에서 분양받아 본 실험실에 저장해 두었던 세포를 녹여 배양하여 실험에 사용하였다. Hepa-I 세포는 5% FBS-MEM 배지를 사용하여 3일에 1회 1:5의 비율로 계대 배양하였다. MCF-7 세포는 Table 1의 5% FBS-MEM 배지를 사용하여 5일에 1회 1:4의 비율로 계대 배양하였다. *phIB1-Luc*을 포함하는 영구세포주인 Hepa-I-IB1-luc stable cell은 Table 1-E의 5% FBS-MEM with G418을 배지로 사용하여 3일에 1회 정도 1:4의 비율로 계대 배양하였다. Hepa-I, MCF-7 세포와 Hepa-I-IB1-luc 영구세포주는 37°C humidified 5% CO<sub>2</sub> incubator 내에서 배양하였고 trypsin-EDTA(0.05%)를 사용하여 계대 배양하였다.

### 약물처리

세포에 DMSO에 혼탁시킨 각 농도의 약물을 포함한 medium으로 전처치를 시행한 후, 10<sup>-9</sup> M 혹은 10<sup>-10</sup> M TCDD를 처리하고 37°C humidified 5% CO<sub>2</sub> incubator에서 24시간을 배양하였다. 대조군은 약물을 용해시킨 용매만

을 처리한 것으로, 이때 용매로 사용한 DMSO의 최종농도가 0.2%를 넘지 않도록 하였다.

### Plasmids

본 실험실에 보관 중인 Human cytochrome *P4501B1* gene의 5' flanking 부분을 포함한 luciferase plasmid (*phIB1-Luc*)를 사용하였다.

### Transformation

*phCYP1B1-Luc*를 100 ng정도 취하여 전체량이 10 μl가 되게 한 뒤, competent cell (*E. coli* DH5a cell) 15 μl를 넣어준 후 얼음 위에서 45분 이상 방치하였다. 이를 42°C에서 90초간 열 처리한 뒤에 얼음 위에서 1~2분 동안 굽냉시킨 후, SOC 배지 150 μl를 넣어 37°C에서 2~3시간 진탕 배양하였다. 그 배양액 50~100 μl를 50 μg/ml ampicillin을 포함하는 LB agar 평판 배지에 도포하고 37°C incubator에서 하룻밤 동안 배양하여 단일 세포 집락을 얻었다.

### Plasmid preparation

Transformation하여 얻어진 단일 세포 집락을 50 μg/ml ampicillin을 포함하는 LB 배지 500 μl에 접종하여 37°C에서 약 2시간 동안 진탕 배양하였다. 배양액을 50 μg/ml ampicillin을 포함하는 LB 배지 100 ml에 500~1,000배 희석하여 37°C에서 12~16시간 진탕 배양하였다. 그 배양액을 4°C에서 2,500 rpm으로 15분간 원심 분리 하여 세포 침전물을 모은 뒤 PBS buffer를 넣고 덩어리가 남지 않도록 혼탁시켰다. 이를 4°C에서 2500 rpm으로 5분간 원심 분리하여 세포 침전물을 모았다. 여기에 lysis buffer (solution I ; 50 mM glucose, 25 mM Tris · Cl pH 8.0, 10 mM EDTA pH 8.0) 0.5 ml을 넣고 vortex로 충분히 섞어준 후, lysozyme solution (lysozyme 10 mg/ml in 10 mM Tris · Cl pH 8.0) 21 μl를 가하고 얼음 위에서 20분 방치하였다. 그 후 이것을 상온으로 한 뒤 10% SDS 100 μl, 2 N NaOH 100 μl, ddH<sub>2</sub>O 800 μl가 혼합된 액 1 mL를 넣어준 뒤 rotator로 섞어주다가 액이 투명한 노란색이 되면 얼음 위에서 10분간 방치하고, 3 N NaAC (pH 4.6) 750 μl를 넣어 중화시킨 후, 얼음 위에서 20분 방치하였다. 그 후 4°C에서 15,000 rpm으로 30분간 원심 분리하여 얻은 상동액에 RNase를 5.6 μl 넣고 37°C water bath에서 20분간 반응시킨 뒤, 상온에서 phenol extraction을 했다. 계면에 불순물이 없어질 때까지 동량의 PCl로 추출을 반복했다. 얻어진 수중에 액의 2 volume absolute ethanol을 가하여 -70°C에서 1시간 방치한 다음 4°C, 10,000 rpm에서 15분간 원심 분리 하였다. 얻어진 pellet을 400 μl dd H<sub>2</sub>O에 녹이고, 4

N NaCl 100 μl와 13% PEG 500 μl를 가한 뒤 얼음 위에서 정확히 45분 방치하였다. 이를 11,000 rpm에서 15분간 원심 분리한 뒤 얻 어지는 pellet을 70% ethanol로 반복 세척하고 남아있는 ethanol을 speed vac으로 완전 건조시킨 뒤 멸균된 ddH<sub>2</sub>O에 녹이고 적당히 희석하여 260 nm, 280 nm에서 흡광 도를 측정해 그 양을 정량하였다. 이 중 260 nm, 280 nm에서의 흡광도 비가 1.8 이상인 DNA를 실험에 사용했으며, 0.8% agarose gel에서 전기영동으로 plasmid의 상태 및 크기를 확인했다.

### Transfection

Hepa-I 세포를 48 well plate에 seeding하고 60% 정도 찰 때까지 배양하였다. Lipofectamin 2.5 μg을 포함하는 serum, antibiotics free MEM medium (without phenol red) 25 μl 용액과, pmCyp1a1 5'-Luc construct 150 ng을 포함하는 serum free medium 25 μl 용액을 섞고 상온에서 45분간 반응시킨 다음 200 μl의 serum free medium을 더 가해 섞어주었다. 세포가 포함된 각 well을 PBS로 2번 세척하고 여기에 위에서 반응시킨 혼합액을 각 well당 125 μl씩 가했다. 이를 37°C humidified 5% CO<sub>2</sub> incubator에서 5시간 배양하고 2×serum, antibiotics medium (MEM without phenol red) 125 μl를 넣어주었다.

MCF-7 세포는 24 well plate에 seeding하고 60% 정도 찰 때까지 배양하였다. Tfx™-50 1.2 μl와 phCYP1B1-luc 0.4 μg을 serum, antibiotics free medium (MEM without phenol red) 1200 μl에 넣고 잘 섞은 후 15분간 방치하였다. 세포가 포함된 각 well을 PBS로 2번 세척하고 여기에 위에서 반응시킨 혼합액을 각 well당 200 μl씩 가했다. 37°C humidified 5% CO<sub>2</sub> incubator에서 1시간 배양한 뒤 2× serum, antibiotics medium (MEM without phenol red) 200 μl를 넣어주었다.

### Luciferase 활성 측정

Gene construct를 세포에 transfection 시키고 전처치 약물들과 TCDD를 처치한 뒤 24시간 후에 luciferase 활성을 측정하였다. 각 세포가 포함된 well을 PBS로 2회 세척한 뒤, Hepa-I 세포일 때 reporter lysis buffer 30 μl, MCF-7 세포일 때 reporter lysis buffer 50 μl를 가하고 15분 동안 상온에서 incubation하여 lysis시켰다. 그 후 well에 물 100 μl를 가하고 바닥을 scrapper로 scrapping한 후 cell lysate에 luciferase assay reagent (luciferin)를 가한 뒤, Berthold luminometer로 relative luminescence를 측정하였다. 수치는 단백질 정량에서 얻어진 단백질 양을 기준으로 RLU (relative luminescence unit/ protein)로 환산하여, 대

조군에 대한 fold induction으로 나타내었다. reporter lysis buffer (Promega)는 5×를 멸균 증류수로 1×로 희석하여 사용 하였으며, luciferase assay reagent는 luciferase assay buffer (10 ml)를 luciferase assay substrate에 넣어 reconstitution시키고 microcentrifuge tube에 aliquot해서 -20°C에서 보관한 것을 20~25°C에서 녹인 뒤 사용하였다.

### 단백질 정량

Bovine serum albumin (2 mg/ml)을 standard로 하여 micro BCA protein assay reagent kit를 사용하여 cell lysate의 supernatant protein 양을 ELISA reader로 측정 했다. microtest III flexible assay 96 well plate에 cell lysate 25 μl를 넣고 멸균증류 수를 가하여 총량이 50 μl가 되게 하였다. 다음 micro BCA reagent A (sodium carbonate, sodium bicarbonate, tetratate를 0.2 N sodium hydroxide에 포함한 것), micro BCA reagent B (BCA detection reagent), micro BCA reagent C (4% cupric sulfate pentahydrate)를 50 : 48 : 2의 비율로 섞은 혼합액을 각 well에 50 μl씩 가한 뒤 60°C에서 1시간 반응시키고 그 후에 570 nm에서 ELISA reader로 흡광도를 측정 하였다.

### mRNA 측정

약물 처치한 세포를 모아서 PBS를 가하고 vortex하여 single cell로 만든 다음 1000 rpm에서 10초간 원심 분리시켜 얻은 세포 침전물에 0.1% DEPC를 가하고 10분간 끓여서 세포를 lysis시켰다. 이를 다시 10,000 rpm으로 1분간 원심분리하고 상정액을 취해 260 nm 파장에서 흡광도를 측정한 뒤 다음의 식에 따라 농도를 구하였다.

분리한 total RNA 0.6 μg에 해당하는 양에 0.1% DEPC를 가해 10.5 μl가 되게 한 다음, 여기에 random primer 0.1 μg을 넣고 70°C에서 10분간 incubation시키고 얼음에서 급냉 시켰다. 여기에 1 mM dNTPs 1 μl, 100 mM DTT 2 μl, 5×first strand buffer (250 mM Tris-HCL (pH 8.3), 375 mM KCl, 15 mM MgCl<sub>2</sub>) 4 μl와 M-MLV (Moloney Murine Leukemia Virus) Reverse Transcriptase 200 units, RNasin 20 units를 넣은 후 23°C에서 10분간 방치시켰다. 이후 37°C에서 1시간 반응시킨 후, 95°C에서 10분간 가열한 후 얼음에 박아 반응을 종결시켰다. RT product 1 μl에 forward/reverse primer를 각각 20 pmol씩 넣고 10×reaction buffer 1 μl, 25 mM MgCl<sub>2</sub> 1 μl, 2.5 mM dNTPs 0.5 μl, Taq polymerase 0.5 units을 가하고, 멸균증류수를 넣어서 전체량이 10 μl가 되도록 한 후에 Table 3의 조건으로 Minicycler (MJ research)에서 반응시켰다. PCR product는 ethidium bromide로 염색한 2%

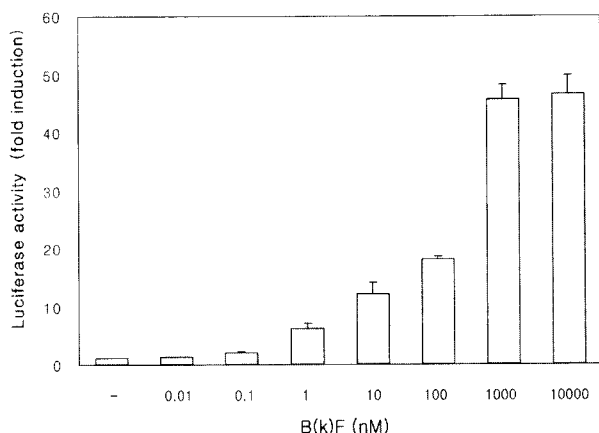


Fig. 1. The dose response of B(k)F on the luciferase activity in MCF-7 cells transfected with *phCYP1B1-Luc*. After transfection, cells were treated with 0.1% DMSO or indicated concentrations of B(k)F for 24 hrs. Luciferase activity was determined as described in Methods. Data represent the mean  $\pm$  S.D. ( $n = 3$ ).

agarose gel 상에서 전기영동하여 확인한 뒤, image analyzer를 사용하여 상대적인 양을 정량하였다.

## 결 과

### Benzo(k)fluoranthene이 CYP450 1B1 유전자 발현에 미치는 영향

MCF-7 세포에 *phCYP1B1-Luc*를 transfection한 후, PAHs 중에서 *CYP1B1*의 유전자 발현을 가장 많이 유도하는 B(k)F를  $10^{-11}$  M~ $10^{-5}$  M 농도로 24시간 처리하여 발현되는 luciferase 활성을 측정하였다. 그 결과 luciferase 활성이 농도 의존적으로 증가하였고, 1  $\mu$ M B(k)F 처리시 luciferase 활성은 대조군에 비해 45.6배 증가하였다 (Fig. 1).

### Genistein이 CYP1B1 유전자 발현에 미치는 영향

Genistein이 *CYP1B1* 유전자 발현에 미치는 영향을 알아보기 위해 Genistein을 다양한 농도로 24시간 단독 처리에 의한 CALUX activity를 측정하였다. 양성 대조군으로는 B(k)F 1  $\mu$ M을 처리하였다. Genistein은 콩류에 고농도로 존재하는 phytoestrogen으로 사람 유방암 세포주인 MCF-7 세포에 *phCYP1B1-Luc*를 transfection한 후, 다양한 농도 ( $10^{-8}$  M~ $10^{-4}$  M)로 24시간 처리 후 발현되는 luciferase 활성을 측정하였다. 그 결과 1  $\mu$ M B(k)F를 단독 처리시 *CYP1B1* 유전자 발현은 대조군에 비해 28배 증가하였다. Genistein을 실험농도에서 단독 처리하였을 때, *CYP1B1* 유전자 발현은 대조군에 비해 큰 변화가 없었다 (Fig. 2).

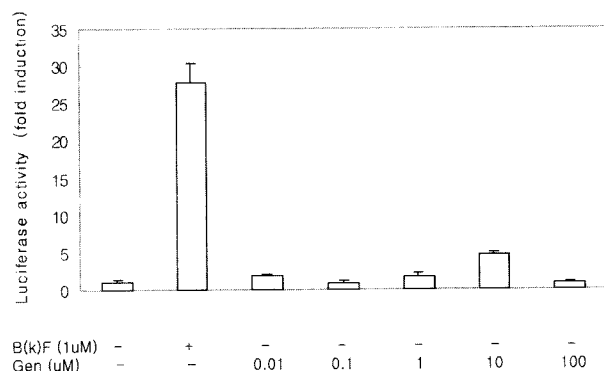


Fig. 2. The effect of genistein on luciferase activity in MCF-7 cells transfected with *phCYP1B1-Luc*. After transfection, cells were treated with indicated concentrations of genistein or 0.1% DMSO for 24 hrs. Luciferase activity was measured by Luminometer as described in Methods. The data represent mean  $\pm$  S.D. ( $n = 3$ ).

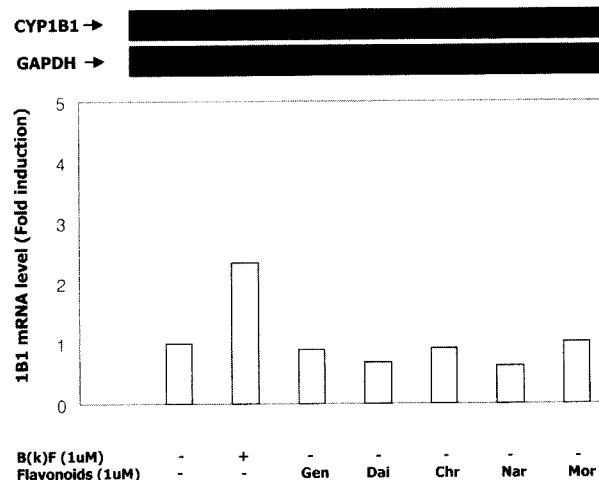


Fig. 3. The effects of genistein, daidzein, chrysin, naringenin and morin on the *CYP1B1* mRNA expression in MCF-7 cells. Cells were treated with 0.1% DMSO or 1  $\mu$ M B(k)F or 1  $\mu$ M flavonoids for 24 hrs. *CYP1B1* mRNA was determined by RT-PCR.

### Flavonoid이 CYP1B1 mRNA에 미치는 영향

MCF-7 세포에 1  $\mu$ M B(k)F와 1  $\mu$ M의 genistein, daidzein, chrysin, naringenin, morin을 24시간 처리한 후, 발현되는 *CYP1B1* mRNA 발현을 RT-PCR로 측정하였다. 그 결과 B(k)F는 *CYP1B1* mRNA 발현을 증가시키는 반면 flavonoids는 대조군과 비교하여 차이가 없었다 (Fig. 3).

### Genistein이 B(k)F에 의한 CYP1B1 유전자 발현에 미치는 영향

발암 의심 화학 물질인 PAHs 중에서 가장 강력하게 *CYP1B1* 유전자 발현을 유도하는 Benzo(k)fluoroanthene

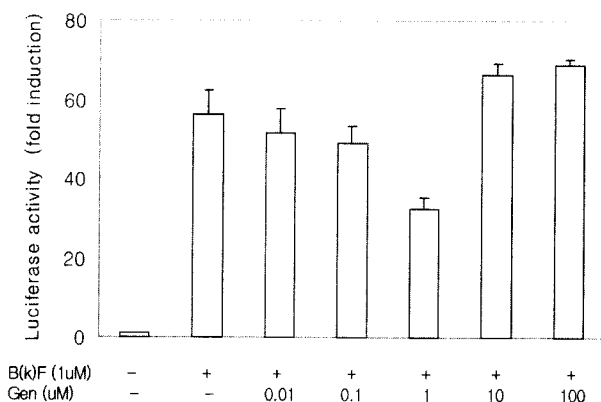


Fig. 4. The effect of genistein on the B(k)F-induced luciferase activity in MCF-7 cells transfected with *phCYP1B1-Luc*. After transfection, cells were pretreated with indicated concentrations of genistein for 4 hrs, followed by the addition of 0.1% DMSO or 1 μM B(k)F for 24 hrs. Luciferase activity was measured by Luminometer as described in Methods. The data represent mean ± S.D. (n = 3).

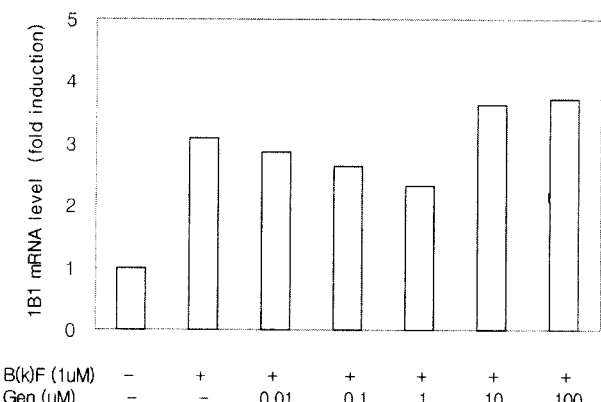


Fig. 5. The effect of genistein on the B(k)F-induced CYP1B1 mRNA expression in MCF-7 cells. Cells were pretreated with indicated concentrations of genistein for 4 hrs, followed by the addition of 0.1% DMSO or 1 μM B(k)F for 24 hrs. CYP1B1 mRNA was determined by RT-PCR.

(B(k)F)과 Genistein 혼합 처리에 의한 CALUX activity를 측정하였다. 양성 대조군으로는 B(k)F 1 μM을 처리하였다. Genistein은 콩류에 고농도로 존재하는 phytoestrogen으로 사람 유방암 세포주인 MCF-7 세포에 *phCYP1B1-Luc*를 transient transfection한 후, 다양한 농도 ( $10^{-8}$  M~ $10^{-4}$  M)의 genistein을 4시간 전처치하고 1 μM B(k)F을 처리하여 발현되는 luciferase 활성을 측정하였다. 그 결과 1 μM B(k)F을 단독 처리시 CYP1B1 유전자 발현은 대조군에 비해 56배 증가하였다. B(k)F에 의해 유도된 CYP1B1 유전자 발현은 genistein을 10 nM~1 μM 전처치 시 감소되었으나, 10 μM 이상의 고농도에서는 증가되었다 (Fig. 4).

#### Genistein이 B(k)F에 의한 CYP1B1 mRNA에 미치는 영향

발암 의심 화학 물질인 Benzo(k)fluoranthene (B(k)F)과 Genistein 혼합 처리에 의한 CYP1B1 mRNA 발현을 RT-PCR로 측정하였다. 양성 대조군으로는 B(k)F 1 μM을 처리하였다. 사람 유방암 세포주인 MCF-7 세포에 다양한 농도 ( $10^{-8}$  M~ $10^{-4}$  M)의 genistein을 4시간 전처치하고 B(k)F를 24시간 처리한 후, 발현되는 CYP1B1 mRNA 발현을 RT-PCR로 측정하였다. 그 결과 1 μM B(k)F을 단독 처리시 CYP1B1 mRNA 발현은 대조군에 비해 3.1배 증가하였다. B(k)F에 의해 유도된 CYP1B1 mRNA 발현은 genistein을 10 nM~1 μM 전처치 시 감소되었으나 10 μM 이상의 고농도에서는 증가되었다 (Fig. 5).

## 고 칠

대표적인 AhR 리간드는 PAH (polycyclic aromatic hydrocarbon)와 TCDD (2,3,7,8-tetrachlorodibenzo-p-dioxin)가 있다. 이러한 물질은 설탕류에서 발암과 면역 억제, 내분비계 교란 등의 유해한 반응들을 유도한다. PAHs는 유기체들의 불완전 연소로 생기며, TCDD (2,3,7,8-tetrachlorodibenzo-p-dioxin), 3-MC (3-methylchloro anthracene)와 함께 cytochrome P450 1B1의 강력한 유도물질이다. 이러한 반응들은 대부분 AhR을 매개로 하여 이루어지는 것으로 알려져 있다 (Devito *et al.*, 1994; Poland *et al.*, 1982; Safe *et al.*, 1990; Schmidt *et al.*, 1996). 리간드가 AhR에 결합하면, hsp 90 중합체로부터 유리되어 Arnt와 결합함으로써 해내로 이동하여 DNA에 결합할 수 있는 형태로 전환되어 CYP1B1과 같은 유전자의 upstream에 존재하는 DRE를 인식, 결합하여 chromatin과 nucleosome 구조를 느슨하게 하여 promoter로의 접근 및 유전자 전사를 활성화시키게 된다 (Denison *et al.*, 1998; Morgan *et al.*, 1992; Okino *et al.*, 1995; Whitlock *et al.*, 1996). Aryl hydrocarbon에 대한 반응성은 AhR 뿐만 아니라 estrogen receptor (ER)의 발현도 관련될 것으로 알려져 있다 (Dohr *et al.*, 1995; Thomsen *et al.*, 1994; Wang *et al.*, 1993; Zacharewski *et al.*, 1991). ER이 존재하는 MCF-7 세포에서는 TCDD에 의해 CYP1A1 유전자 발현 및 EROD 효소 활성이 증가하나 ER이 존재하지 않는 MDA-MB-231 세포에서는 이러한 반응이 관찰되지 않았다 (Dohr *et al.*, 1995). AhR과 ER의 신호 전달 체계 사이의 상호교신 가능성이 제기되면서, TCDD가 estrogen에 의해 유도되는 여러 반응들을 억제하는 anti-estrogenic effect가 있음이 밝혀졌다 (Safe *et al.*, 1995; Wang *et al.*, 1993; Zacharewski *et al.*, 1998). 본 실험에서는 human CYP1B1 5'-flanking region을 luciferase

reporter gene을 포함한 vector에 clone하여, Hepa-1 세포에 transfection 한 뒤, 17 $\beta$ -estradiol (E2)과 대사체인 16 $\alpha$ -estriol (16 $\alpha$ -E<sub>3</sub>)이 CYP1B1 유전자 발현에 미치는 영향을 알아보았다. 그 결과, 17 $\beta$ -estradiol을 10<sup>-6</sup> M로 단독 처리한 경우 대조군에 비하여 luciferase 활성에 변화가 없었으며, 2.5×10<sup>-10</sup> M TCDD를 단독 처리한 경우는 대조군에 비해 29배의 활성 증가를 나타내었다. 17 $\beta$ -estradiol을 TCDD와 병용 처리한 경우, TCDD에 의해 유도된 luciferase 활성을 100%로 봤을 때 62%~75%로 감소하였다. 그 기전은 아직 명확히 밝혀지지 않았으나, gel mobility shift assay를 통해 TCDD에 의해 활성화된 AhR의 DRE 결합을 17 $\beta$ -estradiol이 방해함으로써 CYP1B1 유전자 발현을 억제 한다는 보고가 있으며, 기본 전사 조절 인자인 nuclear factor-1 (NF-1)이 AhR 및 ER에 의한 유전자 전사에 동시에 관여하여, ER의 squelching 작용으로 인해 억제 효과가 나타날 가능성도 제시되고 있다 (Corthesy *et al.*, 1989; Indira *et al.*, 1996; Jeong *et al.*, 1998; Kharat *et al.*, 1996; Martinez *et al.*, 1991; Ricci *et al.*, 1999).

Flavonoids는 estrogen 활성을 띤 화합물로서의 기능과 더불어 CYP450 효소계의 유전자 발현에 대한 작용에 대해서도 꾸준히 연구되고 있다 (Balaguer *et al.*, 1995; Gehm *et al.*, 1997; Hsieh *et al.*, 1998; Siess *et al.*, 1990). 본 실험에서는 MCF-7 세포에 *phCYP1B1-luc*를 transient transfection하여 1  $\mu$ M 농도로 PAHs를 24시간 동안 처리하여 발현되는 luciferase 활성을 측정하였다. Flavonoids가 CYP1B1 유전자 발현에 미치는 영향을 알아보기 위해 MCF-7 세포에 *phCYP1B1-Luc*를 transfection하여 genistein을 다양한 농도 (10<sup>-8</sup> M~10<sup>-4</sup> M)로 24시간 단독 처리에 의한 CALUX activity를 측정하였다. 그 결과 genistein은 실험농도에서 대조군에 비해 CYP1B1 유전자 발현에 큰 영향을 미치지 않았다. 또한 MCF-7 세포에 B(k)F와 genistein을 1  $\mu$ M 농도로 24시간 처리한 후, CYP1B1 mRNA의 발현을 RT-PCR로 측정하였을 때도 B(k)F는 CYP1B1 mRNA 발현을 증가시키는 반면 genistein은 대조군과 비교하여 큰 차이가 없었다. 그러나, 빌암 의심 화학 물질인 PAHs류 중에서 가장 강력하게 CYP1B1 유전자 발현을 유도하는 Benzo(k)fluoroanthene (B(k)F)과 genistein 혼합 처리에 의한 CALUX activity를 측정한 결과, 1  $\mu$ M B(k)F를 단독 처리시 CYP1B1 유전자 발현은 대조군에 비해 약 51배 증가하였고, genistein을 10 nM~1  $\mu$ M로 전처리 시 농도의 존적으로 감소되었으나 10  $\mu$ M 이상의 고농도에서는 B(k)F에 의한 luciferase 활성이 증가되었다. 또 MCF-7 세포에 다양한 농도(10<sup>-8</sup> M~10<sup>-4</sup> M)의 genistein을 4시간 전처리하고 B(k)F를 24시간 처리한 후, 발현되는 CYP1B1 mRNA

발현을 RT-PCR로 측정하였다. 그 결과 1  $\mu$ M B(k)F을 단독 처리시 CYP1B1 mRNA 발현은 대조군에 비해 약 4.3 배 증가하였고, B(k)F에 의해 유도된 CYP1B1 mRNA 발현은 flavonoids를 10 nM~1  $\mu$ M 전처리 시 농도의존적으로 감소되었으나 10  $\mu$ M 이상의 농도에서는 증가되었다. Ciolino 등에 의하면 quercetin과 kaempferol과 같은 flavonoids가 AhR의 리간드로 작용함으로써 AhR을 경유하여 CYP1B1 유전자 발현을 조절할 것으로 보고 있다 (Ciolino *et al.*, 1999). 즉, TCDD에 대한 flavonoids의 이러한 억제 효과가 일종의 AhR 길항제로서 AhR에 대해 TCDD와 경쟁적으로 결합함으로써 나타나는 것으로 보여지며, resveratrol의 경우에는 TCDD에 의해 유도된 AhR 복합체가 DRE에 결합하는 것을 저해함으로써 억제 효과가 나타나는 것으로 보고되고 있다 (Ciolino *et al.*, 1999; Gehm *et al.*, 1997; Henry *et al.*, 1999).

최근 유전자 전사 조절에 대한 연구가 많이 진행되면서 핵단백질 (nuclear protein)인 히스톤 (histone)의 아세틸화 (acetylation)가 여러 유전자 전사 조절에 중요한 역할을 한다고 알려지고 있다. 과거에는 히스톤이 chromatin을 싸고 있는 물질로만 여겨졌으나, 지금은 많은 유전자들의 활성화 억제 모두에 관여하는 것으로 추측되고 있다 (Grunstein *et al.*, 1992).

## 감사의 글

본 연구는 식품의약품안전청의 지원 (과제고유번호 : NTP238)으로 이루어진 것으로 이에 감사드립니다.

## 참 고 문 헌

- Dohr, O., Vogel, C. and Abel, J. (1995) Different response of 2,3,7,8-tetrachlorodibenzo-p-dioxin (TCDD)-sensitive genes in human breast cancer MCF-7 and MDA-MB 231 cells. *Arch Biochem Biophys.* **321**, 405-12.
- Frye, R.F., Schneider, V.M., Frye, C.S. and Feldman, A.M. (2002) Plasma levels of TNF-alpha and IL-6 are inversely related to cytochrome P450-dependent drug metabolism in patients with congestive heart failure. *J Card Fail.* **8**, 315-9.
- Gonzalez, F.J. (1998) The study of xenobiotic-metabolizing enzymes and their role in toxicity *in vivo* using targeted gene disruption. *Toxicol Lett.* 102-103, 161-6.
- Grunstein, M. (1990) Histone function in transcription. *Annu. Rev. Cell. Biol.* **6**, 643-678.
- Lewis, D.F., Watson, E. and Lake, B.G. (1998) Evolution of the cytochrome P450 superfamily: sequence alignments and pharmacogenetics. *Mutat Res.* **410**, 245-70.
- Mimura, J. and Fujii-Kuriyama, Y. (2003) Functional role of AhR in the expression of toxic effects by TCDD. *Biochim.*

- Biophys Acta.* **1619**, 263-8.
- Murray, G.I., Taylor, M.C., McFadyen, M.C., McKay, J.A., Greenlee, W.F., Burke, M.D. and Melvin, W.T. (1997) Tumor-specific expression of cytochrome P450 CYP1B1. *Cancer Res.* **57**, 3026-3031.
- Rogers, J.F., Nafziger, A.N. and Bertino, J.S. Jr. (2002) Pharmacogenetics affects dosing, efficacy, and toxicity of cytochrome P450-metabolized drugs. *Am J Med.* **113**, 746-50.
- Safe, S. (2001) Molecular biology of the Ah receptor and its role in carcinogenesis. *Toxicol Lett.* **120**, 1-7.
- Schmidt, J.V. and Bradfield, C.A. (1996) Ah receptor signaling pathways. *Annu. Rev. Cell Biol.* **12**, 55-89.
- Shehin, S.E., Stephenson, R.O. and Greenlee, W.F. (2000) Transcriptional regulation of the human CYP1B1 gene. *J. Biol. Chem.* **275**, 6770-6776.
- Thomsen, J.S., Wang, X., Hines, R.N. and Safe, S. (1994) Restoration of aryl hydrocarbon (Ah) responsiveness in MDA-MB-231 human breast cancer cells by transient expression of the estrogen receptor. *Carcinogenesis* **15**, 933-937.
- Wang, G.L. and Semenza, G.L. (1993) General involvement of hypoxia-inducible factor 1 in transcriptional response to hypoxia. *Proc. Natl. Acad. Sci. USA* **90**, 4304-4308.
- Whitlock, J.P., Jr. (1999) Induction of cytochrome P4501A1. *Annu. Rev. Pharmacol. Toxicol.* **39**, 103-125.